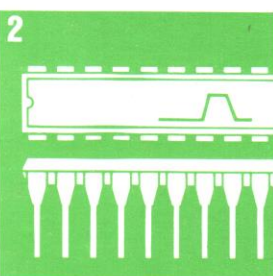
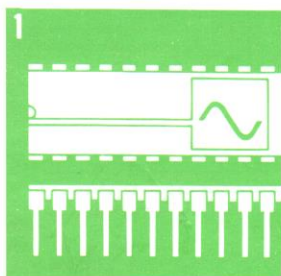


# TESLA

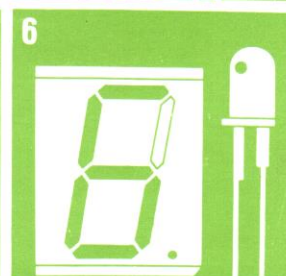
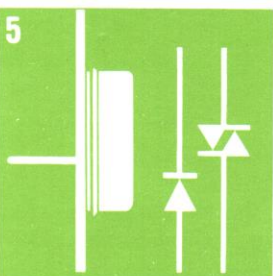
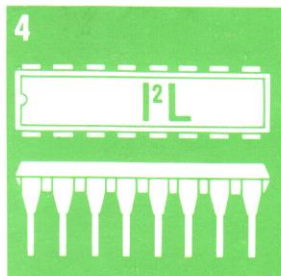
ELEKTRONICKÉ SOUČÁSTKY  
KONCERN ROŽNOV

## Integrated Circuits Integrierte Schaltkreise



Linear  
Integrated  
Circuits

1



Digital  
Integrated  
Circuits

2

Hybrid  
Integrated  
Circuits

3

Custom  
Integrated  
Circuits

4

Semiconductor  
Devices

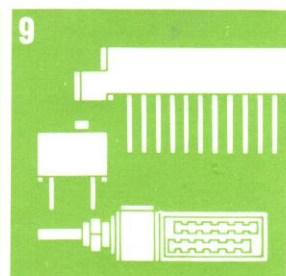
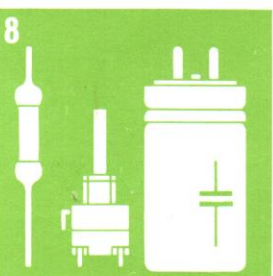
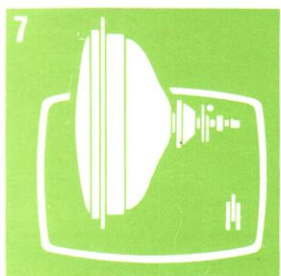
5

Optoelectronic  
Devices

6

TV Picture  
Tubes

7



Passive  
Electronic  
Components

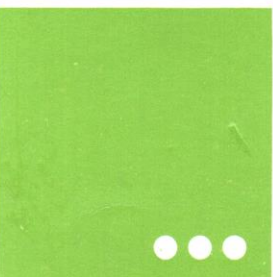
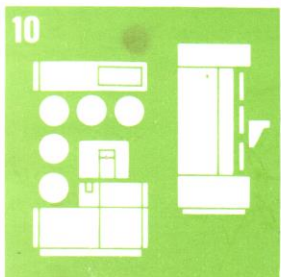
8

Connectors

9

Production  
Equipment

10



LINEAR INTEGRATED CIRCUITS ● LINEARE INTEGRIERTE SCHALTKREISE  
OPERATIONAL AMPLIFIERS JFET INPUT  
OPERATIONSVERSTÄRKER MIT JFET-EINGANG

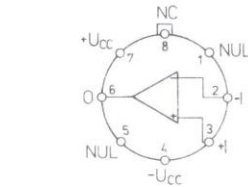
MAC155 MAB355  
MAC156 MAB356  
MAC157 MAB357

MONOLITHIC OPERATIONAL AMPLIFIERS WITH JFET  
INPUT ON COMMON CHIP WITH BIPOLAR TRANSISTORS  
FOR PRECISION AND SPEED INTEGRATOR AMPLIFIER,  
A/D AND D/A CONVERTERS.

MONOLITISCHE OPERATIONSVERSTÄRKER MIT JFET-EINGANG  
AUF GEMEINSAMMEN CHIP MIT BIPOLAREN TRANSISTOREN  
FÜR PRÄZISE UND SCHNELLE INTEGRATOREN, SCHNELLE  
A/D- UND D/A-WANDLER.

MAXIMUM RATINGS ● GRENZWERTE

	MAC ...	MAB ...	
$U_{CC}$	max. $\pm 22$	$\pm 18$	V
$U_I$ <sup>1)</sup>	max. $\pm 20$	$\pm 16$	V
$U_{ID}$	max. $\pm 40$	$\pm 30$	V
$P_{tot}$ <sup>2)</sup>	max. 670	570	mW
$\vartheta_a$	min.-max. $-55 \dots +125$	0 $\dots +70$	°C
$\vartheta_{sig}$	min.-max. $-55 \dots +155$		°C
$t_K$ <sup>3)</sup> ( $\vartheta_C \leq 125$ °C)	indefinite	● unbegrenzt	



Base connection ● Sockelschaltung.  
(Bottom view ● Ansicht von unten)

- 1) Balance ● Nullabgleich
- 2) Inverting input ● Invertierend Eingang
- 3) Non inverting input ● Nicht invertierend Eingang
- 4)  $-U_{CC}$
- 5) Balance ● Nullabgleich
- 6) Output ● Ausgang
- 7)  $+U_{CC}$
- 8) Non connection ● nicht benutzt

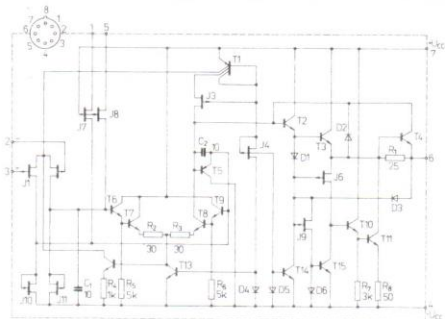
Outlines ● Abmessungen IO-6/1

CHARACTERISTIC DATA: KENNDATEN:

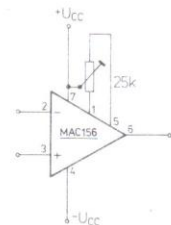
MAC155 MAB355  
MAC156 MAB356  
MAC157 MAB357

BASIC DATA:		HAUPTDATEN: $\vartheta_a = 25$ °C, $U_{CC} = \pm 15$ V, unless otherwise noted ● wenn nicht anders angegeben					
Input offset voltage	Eingangsnullspannung $R_S = 50 \Omega$ , $U_{CC} = \pm 15$ V ... $\pm 20$ V $R_S = 50 \Omega$	$U_{IO}$ $I_{IO}$	nom. 3 —	min.-max. $\leq 5$ —	nom. — 3	min.-max. $\leq 10$ —	mV mV
Input offset current	Eingangsnullstrom $\vartheta_j = 25$ °C, $U_{CC} = \pm 15$ V ... $\pm 20$ V $\vartheta_j = 25$ °C	$I_{IO}$ $I_{IO}$	nom. 3 —	min.-max. $\leq 20$ —	nom. 3 —	min.-max. $\leq 50$ —	pA pA
Input bias current	Eingangsstrom $\vartheta_j = 25$ °C, $U_{CC} = \pm 15$ V ... $\pm 20$ V $\vartheta_j = 25$ °C	$I_{IB}$ $I_{IB}$	nom. 30 —	min.-max. $\leq 100$ —	nom. 30 —	min.-max. $\leq 200$ —	pA pA
Large signal voltage gain	Leerlaufspannungsverstärkung $R_L = 2 \text{ k}\Omega$ , $U_O = \pm 10$ V	$A_{uO}$	nom. 200 000	min.-max. $\geq 50 000$	nom. 200 000	min.-max. $\geq 25 000$	
Input voltage range	Eingangsspannungsbereich MAC156	$U_I$	nom. —	min.-max. $\geq \pm 11$	nom. —	min.-max. —	V
Supply current	Stromaufnahme MAC155, MAB355 MAC156, MAC157, MAB356, MAB357	$I_{CC}$ $I_{CC}$	nom. 2 5	min.-max. $\leq 4$ $\leq 7$	nom. 2 5	min.-max. $\leq 4$ $\leq 7$	mA mA
Slew rate $A_u = 1$	Flankensteilheit MAC155, MAB355 MAC156, MAB356 MAC157, MAB357	S	nom. 5 12 50	min.-max. $\geq 7,5$ $\geq 30$	S	nom. 5 12 50	V/ $\mu$ s V/ $\mu$ s V/ $\mu$ s
Output voltage swing	Ausgangsspannungs-Amplitude $R_L = 10 \text{ k}\Omega$ $R_L = 2 \text{ k}\Omega$	$U_{O\ max}$ $U_{O\ max}$	nom. $\pm 13$ $\pm 12$	min.-max. $\geq \pm 12$ $\geq \pm 10$	nom. $\pm 13$ $\pm 12$	min.-max. $\geq \pm 12$ $\geq \pm 10$	V V
Common mode rejection ratio $U_{CC} = \pm 15$ V ... $\pm 20$ V	Gleichaktunterdrückung MAC156, MAB356	CMR	nom. 100	min.-max. $\geq 85$	nom. 100	min.-max. $\geq 80$	dB
Power supply rejection ratio $U_{CC} = \pm 5$ V ... $\pm 18$ V	Betriebsspannungsunterdrückung MAC156, MAB356	SVR	nom. 100	min.-max. $\geq 85$	nom. 100	min.-max. $\geq 80$	dB

**MAC155 MAB355 LINEAR INTEGRATED CIRCUITS ● LINEARE INTEGRIERTE SCHALTKREISE  
 MAC156 MAB356 OPERATIONAL AMPLIFIERS JFET INPUT  
 MAC157 MAB357 OPERATIONSVERSTÄRKER MIT JFET-EINGANG**



Electrical schematic ● Elektrische Innenschaltung



Input offset voltage nulling ● Nullspannungskompensation

**CHARACTERISTIC DATA: KENNDATEN:**

MAC155	MAB355
MAC156	MAB356
MAC157	MAB357

**AUXILIARY DATA: HILFSDATEN:**

$U_{cc} = \pm 15 \text{ V}$ , unless otherwise noted ● wenn nicht anders angegeben

MAC...:  $-55 \text{ }^{\circ}\text{C} \leq \vartheta_a \leq +125 \text{ }^{\circ}\text{C}$   
 MAB...:  $0 \text{ }^{\circ}\text{C} \leq \vartheta_a \leq +70 \text{ }^{\circ}\text{C}$

		nom.	min.-max.	nom.	min.-max.
Input offset voltage	Eingangsnullspannung $R_s = 50 \Omega$ , $U_{cc} = \pm 15 \text{ V} \dots \pm 20 \text{ V}$ $R_s = 50 \Omega$	$U_{IO}$	$\leq 7$		
Input offset current	Eingangsnullstrom $\vartheta_j = 125 \text{ }^{\circ}\text{C}$ , $U_{cc} = \pm 15 \text{ V} \dots \pm 20 \text{ V}$ $\vartheta_j = 70 \text{ }^{\circ}\text{C}$	$I_{IO}$	$\leq 20$		
Input bias current	Eingangsstrom $\vartheta_j = 125 \text{ }^{\circ}\text{C}$ , $U_{cc} = \pm 15 \text{ V} \dots \pm 20 \text{ V}$ $\vartheta_j = 70 \text{ }^{\circ}\text{C}$	$I_{IB}$	$\leq 50$		
Large signal voltage gain	Leerlaufspannungsverstärkung $R_L = 2 \text{ k}\Omega$ , $U_O = \pm 10 \text{ V}$	$A_{u0}$	$\geq 25\,000$		
Input voltage range	Eingangsspannungsbereich	$U_I$	$+15,1 \dots -12,0$	$\geq \pm 11$	$\pm 15,1 \dots -12,0$
Output voltage swing	Ausgangsspannungs-Amplitude $R_L = 10 \text{ k}\Omega$ $R_L = 2 \text{ k}\Omega$	$U_{O\ max}$	$\pm 13$ $\pm 12$	$\geq \pm 12$ $\geq \pm 10$	$\pm 13$ $\pm 12$
Common mode rejection ratio	Gleichtaktunterdrückung $U_I = \pm 11 \text{ V}$ , $U_{cc} = \pm 15 \text{ V} \dots \pm 20 \text{ V}$	CMR	100	$\geq 85$	100
Power supply rejection ratio	Betriebsspannungsunterdrückung	SVR	100	$\geq 85$	100
<b>INFORMATION DATA: INFORMATIONS DATEN:</b>					
$\vartheta_a = 25 \text{ }^{\circ}\text{C}$ , $U_{cc} = \pm 15 \text{ V}$ , unless otherwise noted ● wenn nicht anders angegeben					
Input resistance	Eingangswiderstand $\vartheta_j = 25 \text{ }^{\circ}\text{C}$ , $U_{cc} = \pm 15 \text{ V} \dots \pm 20 \text{ V}$ $\vartheta_j = 25 \text{ }^{\circ}\text{C}$	$R_{ISE}$	$10^{12}$	—	—
Input capacitance	Eingangskapazität	$R_{ISE}$	—	$10^{12}$	—
Output short-circuit current	Ausgangs-Kurzschluss-Strom	$C_I$	3	—	3
Gain bandwidth product	Leistungsbandbreite $A_u = 1$ MAC155, MAB355 MAC156, MAB356 MAC157, MAB357	$f_T$	2,5 5 20	—	$\pm 25$
Settling time	Einschwingzeit $A_u = -1$ , $U_I = 10 \text{ V}$ , $\varepsilon = 0,01 \%$	$t_s$	4 1,5	—	4 1,5
Change in input offset drift with $U_{IO}$ adjust	Änderung von Temperatur-Koeffizient von $U_{IO}$ $R_s = 50 \Omega$ , $U_{cc} = \pm 15 \text{ V} \dots \pm 20 \text{ V}$ $R_s = 50 \Omega$	$\Delta T K_{U_{IO}} / \Delta U_{IO}$	0,5	—	—
Input noise voltage	Eingangsräuschstrom $R_s = 100 \Omega$ , $f = 100 \text{ Hz}$	$U_N$	25	—	$nV/\sqrt{\text{Hz}}$
	MAC155, MAB355	$U_N$	15	—	$nV/\sqrt{\text{Hz}}$
	MAC156, MAC157, MAB356, MAB357	$U_N$	20	—	$nV/\sqrt{\text{Hz}}$
	MAC155, MAB355	$U_N$	12	—	$nV/\sqrt{\text{Hz}}$
	MAC156, MAC157, MAB356, MAB357	$U_N$	12	—	$nV/\sqrt{\text{Hz}}$